Treasure Microbox of Optoelectronics IV

光エレクトロニクスの 玉手箱IV

伊賀健一・波多腰玄一

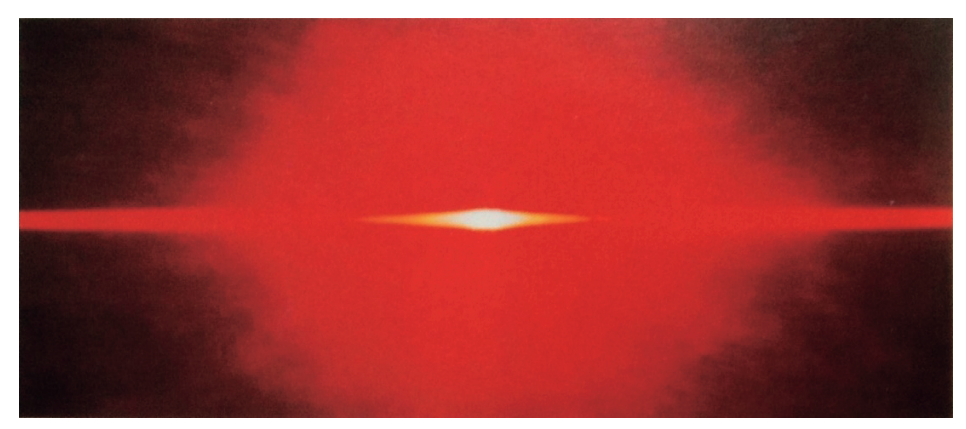
試し読み



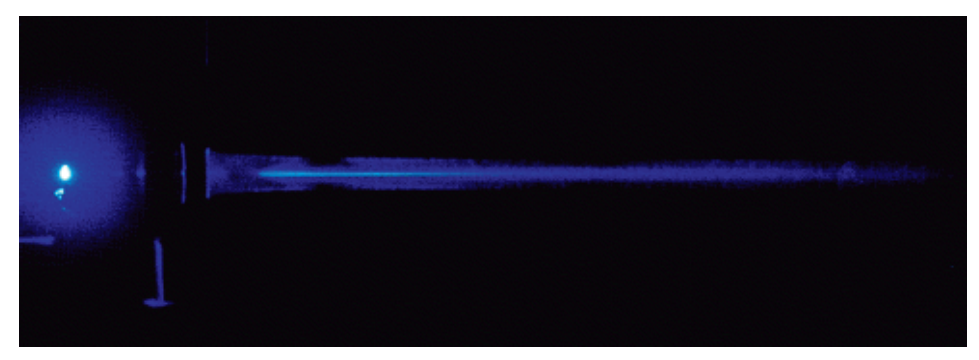
光エレクトロニクスの玉手箱 IV

目 次

まえがき	i	コラム B:微妙な設計 : 単一横モードで	
目次	iii	縦多モード	28
第 50 章 忘れないで:光ディスクメモリー(その 1)) 1	第 53 章 忘れないで : 光ディスクメモリー (その 4)	33
1. 音と光のメモリー	1	1. BD 用の波長 405 nm 帯レーザー	33
2. 光メモリーの発展と種類	3	2. 光ディスクの多層化と高速化	38
3. 光ディスクのしくみ	4	3. 記録内容の変遷と将来	42
4. 波長と回折限界	7	4. むすび	43
5. 記録と読み出し	8	付録 AP1 2 進法に基づくバイトの単位	44
6. CD, DVD, BD の比較	9	付録 AP2 光ディスクメモリー用語集(4)	45
7. むすび	11	コラム A: なぜ blue disc とは言わないの?	34
付録 AP1 光ディスクメモリー用語集(1)	12	コラム B:CD-R のデータ用と音楽用の	
コラムA:光の日、音の日	2	違いは?	39
コラム B:音が良い:CD とアナログ LP,		コラム C: いろいろな回転	40
どちら?	4	コラム D:なぜ,高出力レーザーが必要か?	41
コラム C:光ディスクとレコード	5	コラム E:光ディスクは BD で終わりか?	42
コラム D:光ディスクをつまんでよいか?	11	コラムF:メモリーはなにが残るか?	43
コラム E:第 50 章を迎えて	13		
		第 54 章 目にも鮮やかディスプレイ(その 1)	46
第51章 忘れないで:光ディスクメモリー(その2)	14	1. はじめに	46
1. いろいろなディスクと記録読み出し方法の		2. ディスプレイとは	47
実際	14	3. LCD 表示装置	48
2. 光ディスクの光学系	15	4. 有機 EL	57
3. 焦点誤差検出法	16	5. おわりに	58
4. トラッキング誤差検出法	18	付録 AP1 ニプコー円板	60
5. 誤り訂正	20	付録 AP2 ディスプレイ用語集(1)	61
6. むすび	21	コラム A:TN 液晶のねじれ方向は	
付録 AP1 光ディスクメモリー用語集(2)	22	どうやって決まるの?	50
コラム A:CD の規格余話	15	コラム B:スマートフォンは	
コラム B:CD のエラー訂正	21	何故スマホか?	55
コラム C:最初に出た CD はなにか?	21		
		第 55 章 目にも鮮やかディスプレイ(その 2)	62
第 52 章 忘れないで:光ディスクメモリー(その3)	23	1. 色域	62
1. 光ディスク用の半導体レーザーとその要件	23	2. レーザーディスプレイとは	63
2. CD 用の波長 780nm 帯レーザー	24	3. レーザープロジェクターの原理	63
3. DVD 用の波長 650nm 帯赤色レーザー	26	4. レーザーディスプレイ研究の歴史	64
4. むすび	30	5. ディスプレイ用レーザー光源	64
付録 AP1 光ディスクメモリー用語集(3)	32	6. レーザープロジェクターの構成技術	66
コラムA:光ディフクを何に使らり	26	7 1.一ザープロジェクターとその応用	67



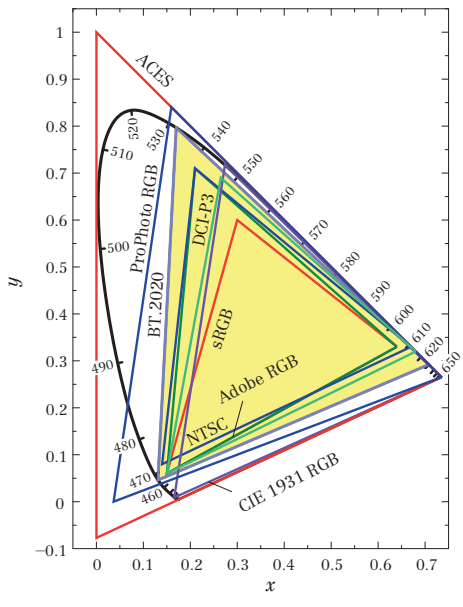
第52章 図1 赤色半導体レーザーの夜明け(本文 p. 24) (InGaAlP 系赤色レーザーの近視野像: 1985 年室温連続発振) (東芝レビュー, Vol. 41, No. 4, p. 284 (1986))



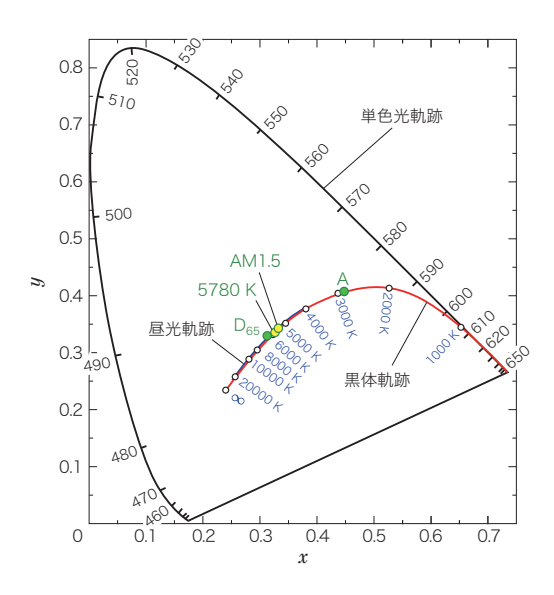
第 53 章 図 1 青紫色半導体レーザーの発振光 (本文 p. 33) (波長 417 nm, 室温パルス発振: 左がレーザーで、線状の光はレンズでコリメートされたビーム) (東芝レビュー, Vol. 52, No. 3, p. 5 (1997))



第56章 図21 石井勢津子氏作のホログラフィー『アクエウスのつぶやき』(本文 p. 84)(東京工業大学博物館所蔵。許可を得て掲載)

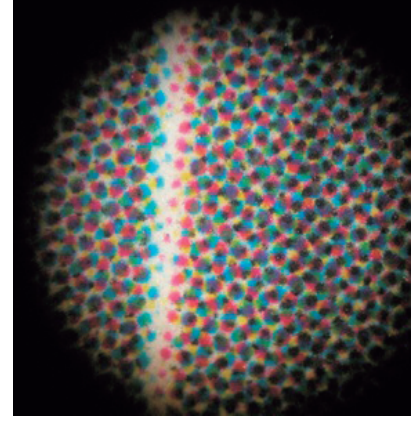


第55章 図1 いろいろな色域 (本文 p. 63)



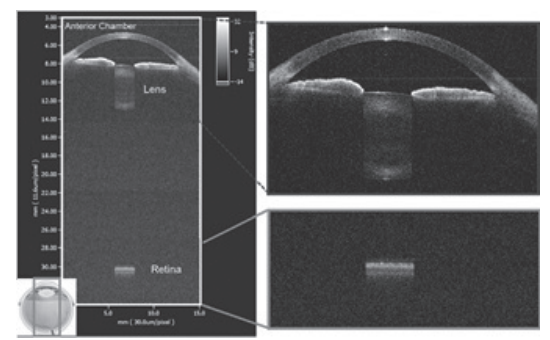
第57章 図10 xy 色度図と黒体軌跡(本文 p. 92)





第62章 図13 レーザープリンターによる画像の例(本文 p. 141) ((株) リコーのレーザープリンターによる出力を撮影したもの。 撮影は伊賀健一,宮本智之による。)

(a) A4 版へのプリントをスキャンしたもの (b) ヴァイオリンの G 線を顕微鏡で拡大したもの



第63章 図12 光トモグラフィーによる眼球の断面像(本文 p. 150) (a): 眼球の深さ方向の OCT 像(上側が眼頭) (b) 上: 上側が角膜,中央下部が水晶体 下:網膜部 (santec (株) 鄭台鎬社長のご厚意による)

まえがき

本書はアドコム・メディア社から出版されている 0 plus E 誌における連載「光エレクトロニクスの玉手箱」を書籍化した第IV巻(最終巻)である。その連載は 2013 年 3 月から始まり、2019 年に第 67 章をもって完了した。本書はその第 50 章から第 67 章までをまとめて、2019 年 12 月 4 日に単行本として出版した書籍版である。

第IV巻では、主として光エレクトロニクスの応用システムについて取り上げた内容となっている。本編第 I 巻では、光エレクトロニクスの基礎について詳しく解説し、第 II 巻では、デバイスを中心とした。第Ⅲ巻では、デバイスから構成されるコンポーネントを内容の中心に据えた。そこで、最終巻となる本書では、光エレクトロニクスのいろいろなシステムについてその原理から動作までを詳しく紹介することとした。

第50章から第53章は「光ディスクメモリー」で、透明な円盤の表面あるいはその近くになんらかの印をつけてメモリーとし、それをレーザー光で読み出すしくみである。LP盤などのアナログレコードと異なり、ディジタル的なピットを密に書き込み、記録する。1982年頃から始まるCD、1990代のDVD、2000年代に実現した青紫色の半導体レーザーを用いるBDなどのしくみについて見ていく。身近なところにあるディスクなのだが、その技術が誠に精緻であることに読者も驚かれることであろう。

第54章から第57章の4つの章を「ディスプレイ」に当てた。やや詳しく述べたのは、われわれが目にするはずのいろいろな情報を具現化する手段であり、永遠に消えることのない技術であるとの認識に立ったものである。液晶ディスプレイ(LCD)では、液晶のスイッチ列で光をon-offさせて画面に映像を映し出す。有機ELでは、自発光の有機EL列により画面を明るく表示する。それらの仕組みも、なかなかおもしろい。

第58章から第60章の3つの章では、ものの像を撮るいわゆる「撮像」について見ていく。 カメラから始まって、物体の像を記録することはこれまた永遠の課題である。CCD センサーが 先行したが、シリコン技術の発展で、CMOS 技術をもとにしたセンサーが台頭した。

第61章はレーザーを用いるレーダーである「ライダー」について取り上げた。人工知能(AI) の応用や Deep Learning を駆使する応用が進むにつれて、自動運転や安全のキーとなる技術である。

第62章は「レーザープリンター」で、現在、われわれが手にすることのできるきれいなプリント資料は、その精緻な技術によることを探る内容である。

第63章は「光センシング」で、撮像とはまた少し異なる視点からのセンシング技術であり、高速、安全、医用などの基盤技術となる。

第64章から第66章では、量子について全編を振り返って考えることとした。量子論的考え方、量子力学、量子情報処理など、光エレクトロニクスにはどこかで使われていながら、まだ理解しがたいところが残っているという印象から、まとめて考え直そうという試みである。第66章では、量子コンピューターについて紹介というより、読者の皆様と一緒に考えようと、もとになる情報を提供することを目的として整理した。

また、第67章は、これまで本連載をお読みいただいた後藤顕也さん、植之原裕行さんにご参加いただいた座談会で、本連載・本書籍版についての感想や意見などを伺い、興味ある内容となったので、番外編として本書に収納させていただいた。

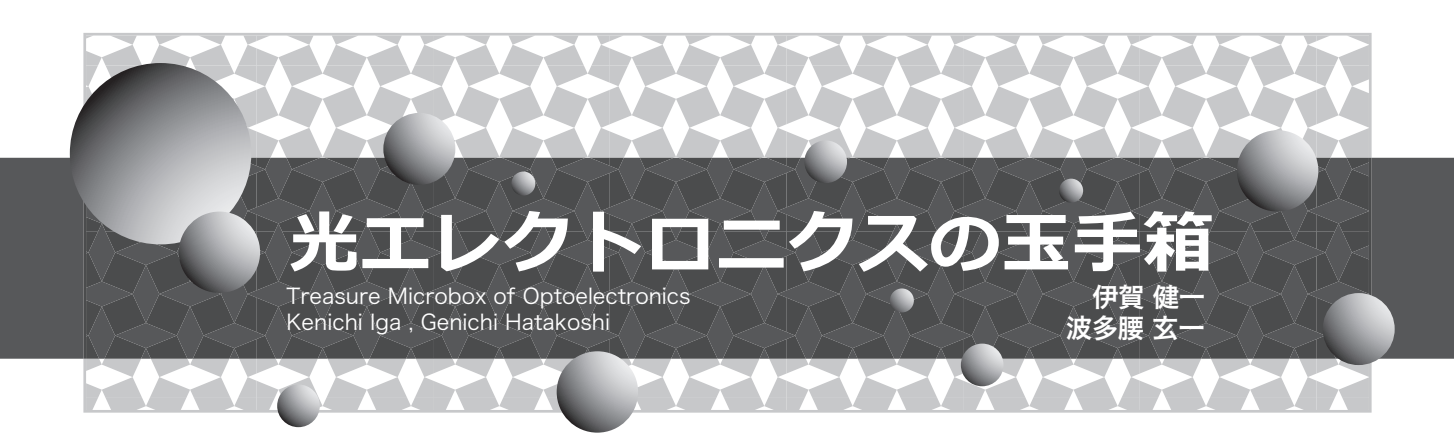
本書の第 I 巻から第III巻までお読みいただいた読者の皆様に深く感謝しながら、この最終巻を捧げたい。初めて第IV巻を手にされた方々には、システムの基礎になっている原理や材料など、前 3 巻に網羅されていることをご紹介しておく。

また、本連載では「コラム」を設けて、本文では収まらない内容を気楽に入れてみる試みを 行った。全編のコラムを眺めてみると、筆者等にとってもおもしろい議論ができたと感じられ るものとなった。全巻の総目次も併せて本巻末に掲載した。

本書の読者としては、光エレクトロニクス、光学、電子工学等の研究者、教職員の方々、学生諸君など、広きに渡っている。特に、これから新しく光エレクトロニクスの分野に入ってくる人々への教科書、参考書として、第 I、第 II 巻、第 III 巻と共にお役に立てば幸いである。

伊賀 健一 波多腰 玄一 2019年11月吉日

本書では紹介できなかった「カラーの図表や動画」などを下記の web にてご紹介しています。 https://www.adcom-media.co.jp/opluse/tmo/



第 54 章 目にも鮮やかディスプレイ (その1)

0 (編集子): 前章まで、4 回にわたって光ディスクにつ いて解説いただきました。CDなど一般によく使われて いるものなのに、その原理を理解するのは大変でした。

 $C(\mathbf{伊賀})$: 光ディスク装置は、半導体レーザー、ディス クそのもの、光検出器、それからディジタル信号を処理 するプロセッサーが詰まっているシステムでした。

C(波多腰): メモリーと光通信を併せたような高度な仕 組みです。

0 (編集子): 本章では、ディスプレイです。ディスプレ イと言えば、まずはテレビですね。

A(波多腰):電子的に画像を表示するのは、テレビが最 初でした。

A(伊賀): 高柳健次郎先生が世界で初めて「**イ**」の字を ブラウン管に表示したのです。これについては本文で詳 しくご紹介しましょう。

A(波多腰): 最近では、スマートフォンから映画館など の大型スクリーンまで、多種多様のディスプレイが発展 しています。

C(編集子):いろいろ勉強するのが楽しみです。

本章では、電子的に文字や画像、あるいは動画などを 表示する、いわゆるディスプレイ(display)について 見ていくことにする。レーザーディスプレイ、液晶ディ スプレイなど、表示、投影技術についてながめてみる。

IEEE MILESTONE IN ELECTRICAL ENGINEERING AND COMPUTING Development of Electronic Television, 1924-1941 Professor Kenjiro Takayanagi started his research program in television at Hamamatsu Technical College (now Shizuoka University) in 1924. He transmitted an image of the Japanese character \checkmark (i) on a cathode-ray tube on 25 December 1926 and broadcast video over an electronic television system in 1935. His work, patents, articles, and teaching helped lay the foundation for the rise of Japanese television and related industries to global leadership.

November 2009



図1 高柳健次郎の電子表示に関する IEEE Milestone (東京工業 大学博物館所蔵)

1. はじめに

英語の display は、ラテン語由来のフランス語 pli(折 りたたむ)を dis によって否定することから来ているら しい。つまり、display は広げるという意味となり、大 きく広げて見せることで、日本語の「表示」が対応する。 ちなみに、演ずるという play は別の語源から来ている。

さて, 高柳健次郎の電子表示は, 2008年に世界初の 技術として、マイルストーン (IEEE Milestone) に選 定された。高柳は東京高等工業学校(後の東京工業大学) を卒業後、浜松高等工業学校(後の静岡大学工学部)の 教授となり、電子的表示装置の研究を行った。図1に マイルストーンの銘板を示す。静岡大学が申請したもの

= コラム A 🔀

最初の光センシングは何でしょうね?



Q (伊賀): 最初の光センシングは何があるのでしょう?



A(波多腰): 光そのものの測定になりますが、光速の測定は光センシングに関連の深い技術だと思います。第5章で紹介したように、1676年にレーマーが木星の衛星イオの食を利用して光速

を測定しました。その後に続く光速測定で有名なのは、1849年にフィゾーが回転歯車を用いた方法です。これは回転歯車による光の高速変調を利用していることになります。このときは遠くに置いた鏡までの距離がわかっていて、それから光速を求めたのですが、逆に光速がわかっていれば距離が求められます。これは実は現在の距離計と同じ原理です。レーザーができた1960年以降、光計測の分野が広まりました。

C (伊賀): 北大の朝倉利光教授,大塚喜弘教授らがいろいろと研究されていたことを記憶しています¹⁾。 Q (波多腰): ところで,後の OCT のところで,山形 大学の丹野さん,MIT の Fujimoto さんのことがで てきますね。

A(伊賀): 丹野さんはわれわれとほぼ同じ世代でしたし、Fijimoto さんとは、同じ年のランク賞の授章式で一緒でした。

2. あらためて光センシングとは?

光センシングにどのようなものがあり、どのような方 法があるかを、まず眺めてみよう。

第 58~60 章の撮像では、物の像を撮るという視点で見てきた。もちろん、防犯カメラなどでは、写真のデータを保存して、後で参照するというセンシングである。

ところが、それだけでは情報が得られない場合がある。 例えば、

- ・物体や人体の内部
- ・瞬時に変わる状況の把握(写真を撮っても直ぐに処理 ができない高速事象)
- ・速度などの動的物理量
- ・精度の高い測定

などがある。そこで、以下のような対象物があることに 気づく。

< コラム B ><<

光センシングは分類できるか?



Q(波多腰): 光センシングは系統的に分類できますかね?

A (伊賀): それはなかなか難しいですね。 昔から、センサー (千差) 万別と冗談 で言っていたくらいですから。

C(波多腰): それでも、最近はAIや IoTが進んできてセンサーの重要性が

増してきました。

A(伊賀): そこで、できる限り系統化を試みましょう。

表1 光センシングの対象と例

我 i 元 こ ン ン ノ の が る し り		
対象	例	
距離	測定点からの距離、横方向距離	
位置	方向, GPS座標	
形状	大きさ,形	
性質	人, 自動車, 動物	
量	寸法,濃度,屈折率,血流,インピーダンス	
変位	物体の移動量, 振動量	
速度	流速,飛来速	
スペクトル	吸収スペクトル,色,吸収率,反射率	
偏波	偏波の有無、方向	
電気磁気	脳波など	
臭気	熟度,腐敗度	
存在性探査	油田, 星, あるかないか, 危険物, ガス, 爆発物, 薬物, 害虫, ウィルス	

(1) 光センシングの対象物

表1に、対象物の分類を示す。これを見ると、センシングは、われわれの周りにあるあらゆる物の情報を獲得するという行為であることに思い至る。であるから、暮らしや生活を快適にすることをミッションにすることが重要で、悪意に基づいたものであってはならない。

(2) 測定法の原理

ここでは、光センシングにおける測定あるいは感知するための要素について考えてみよう。**表2**に、光センシングにおける測定法についてまとめた。

光センシングに関する文献では、対象物を中心とする 測定方法を扱っているものが多い。本章では、測定法の 概念に注目して見ていくことにしたい。

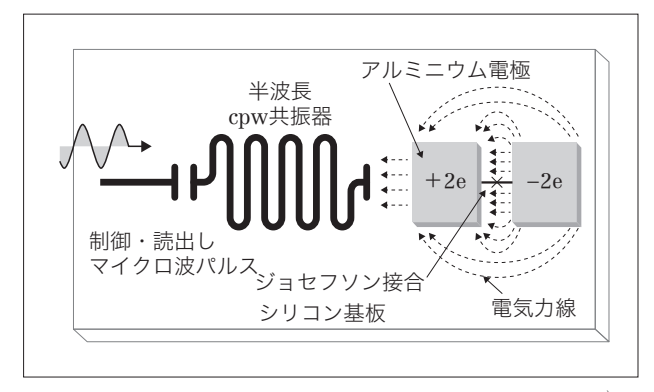


図3 量子ビットの例 (超伝導ジョセフソン接合を用いる例¹⁸⁾)。 (田淵豊, 杉山太香典, 中村泰信:電子情報通信学会誌, Vol. 101, No. 4, pp. 400-405 (2018), 許諾番号:19KA0003)

量子計算機においても、計算するためのプログラミングが必要である。簡単に言うと、Q-ビットへの重みづけとでも言っておこう。

量子ビットには、**図3**に示すような超伝導ジョセフソン接合を用いる例が報告されている¹⁸⁾。

現在開発が進んでいる量子ゲート型計算機では、はっきりとは明示されていないが、超伝導回路が用いられていることが多い。Q-ビットの数は、Google の 72 Q-ビット $^{19)}$ 、IBM の 50 Q-ビット $^{20)}$ が報告されている。後者では、これを用いて 2020 年頃に実用化が予定されている。

■ 5. 量子ニューラルネットワーク

図4に示すこの方式は、山本喜久教授が提案し、科学技術振興機構(JST)の ImPACT プログラムで実現しようとしているものである。同プログラムのホームページには、ビデオによる解説もある 13)。この方式では、光の位相をビットに用いる。すなわち、ゼロ度から始まる光を固有解とし、その重ね合わせを 0 ビットとする、いわば光子計算機である。古典的には、光通信における 0 値の光位相変調に相当する。ただ、この光は、図4に示すように、光パラメトリック増幅器のところで、 0 2 ののポンプ光から非線形結晶により、 0 の角周波数をもつ 0 2 つの光を生成する。これを約 0 1 km 長の光ファイバーに入れ周回させる。非線形結晶へのポンプ光を強くして、リング共振器の損失を打ち消すと発振が起こり、光パラメトリック発振器(0 0 度の光と 0 9 0 度の光に分

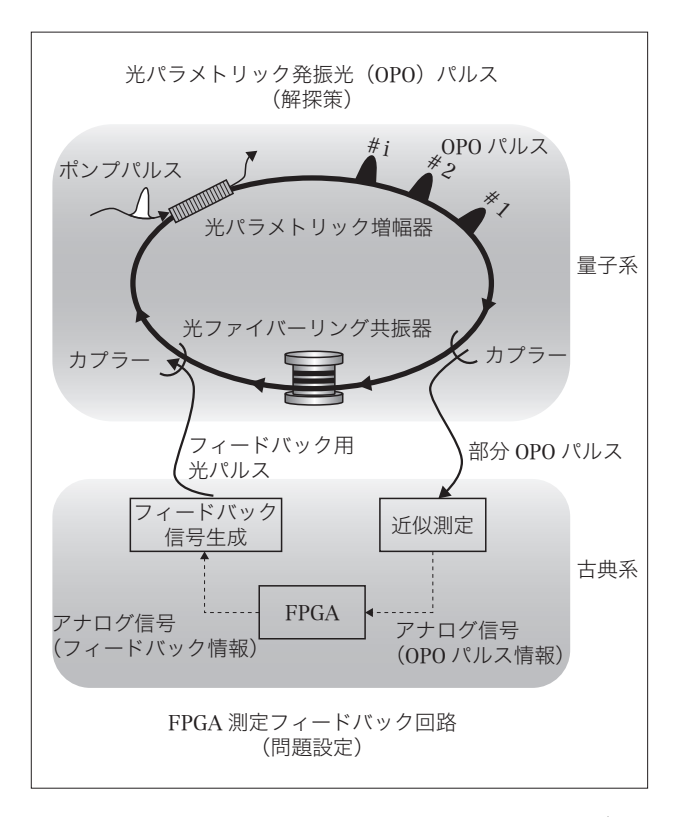


図4 光を Q-ビットとする量子ニューラルネットワーク ²¹⁾ (http://www.jst.go.jp/impact/program/12.html)

割されるが、発振しきい値以下では、それがランダムに発生する。ところが、発振が起こると、どちらかが優勢になって周回する。そこへ、光カプラーを通して部分パルスを FPGA (field-programmable gate array) によって帰還信号を作り、リング共振器へ戻す。こうして、多くの光 Q-ビットが伝搬しながら結合し、並列的に計算を実行していく。最適化問題などを高速に計算できるという。

■ 6. 量子アニーリング計算機

(1) シミュレーテッド・アニーリング

われわれの周りには、数値計算を行うというより、最 適な場合を模索するという場合もある。このような最適 な場合を求めるために特化された計算手法が、量子ア ニーリング計算法である。

これに類した計算手法としては、シミュレーテッド・ アニーリング (simulated annealing) 法があり、古典

索 引

LPE (liquid phase epitaxy)	27	PPI (plan position indicator)	127	SSD (spot size detection)	17
MBE (molecular beam epitaxy)	26	PPLN (periodically poled lithium	ı	SS-OCT (swept-source OCT)	149
MD (mini-disc)	3	niobate)	65	STN (super-twisted nematic)	50
MEMS (micro electro mechanica	1	PPS (passive pixel sensor)	125	TD-OCT (time domain OCT)	149
systems) 6	3, 129	PRLM (partial response and		TFT (thin film transistor)	50
MKB (media key block)	39	maximum likelihood)	10	TJS (transverse junction stripe)	24
MO (magneto-optical) ディスク	5	ProPhoto RGB	62	TN (twisted nematic)	48
MOB (micro optical bench)	160	P7V2	71	TOF (time of flight) 12	27, 145
MOCVD (metalorganic chemical		PVA (patterned ITO vertical		TS (transverse junction stripe)	25
vapor deposition)	27, 34	alignment)	52	TSP (traveling salesman problem	n)
MOS (metal oxide semiconductor) 122	Q-ビット	181		182
MOSFET (metal oxide semicondu	ictor	QED (quantum electrodynamics) 162	TSTN (triple STN)	51
field effect transistor)	122	QUBO (quadratic unconstrained		3 スポット法(3-spot method)	19
MPEG (moving picture expert gro	oup)	binary optimization)	187	3 ビーム法(3-beam method)	19
	22	R2R (roll to roll)	58	3D ディスプレイ	82
MPEG2	15	RADAR (radio detection and		UCS (uniform-chromaticityscale))
MPRT (moving picture response	time)	ranging)	127	色度図	92
	52	RAM (random access memory)	6	UDF (universal disk format)	15
MQW (multi-quantum well)	35	RDS (random dot stereogram)	75	UHDTV (ultra high definition TV	·)
MR (mixed reality)	96	rect 関数	150		62, 82
MRI (magnetic resonance imagir	ng)	RGB	56, 86	uv 色度図	92
	145	RGB 表色系	89	$u^{\prime}v^{\prime}$ 色度図	92
MVA (multi-domain vertical		rg 色度図	91	VA (vertical alignment)	51
alignment)	51	RIN (relative intensity noise)	134	VBG (volume Bragg grating)	65
n 型液晶	49	ROM (read only memory)	2, 38	VCSEL (vertical cavity surface em	nitting
NA (numerical aperture) 7, 5	4, 104	ROMM (reference output mediu	m	laser) 42, 65, 126, 12	9, 138
NAND ゲート	183	metric) RGB	72	VR (virtual reality)	67, 96
NFP (near field pattern)	32	RSA (Rivest-Shamir-Adleman)	暗号	VSIS (V-channeled substrate inn	er
NRZI (non-return to zero inverte	d) 6		182	stripe)	25
NTSC (National Television System	m	RW (rewritable)	4	WORM (write once read multiple	e) 4
Committee)	63	SD-OCT (spectral domain OCT)	149	X 線 CT	145
OCB (optically compensated bend	1) 52	SHG (second harmonic generati	on) 65	xy 色度図	92
OCT (optical coherence tomograp	ohy)	SHV (super hi-vision)	72	XYZ 表色系	91
	148	SI (Système International d'unit	és) 44	$X_{10}Y_{10}Z_{10}$ 表色系	91
OLED (organic LED)	58	SIRDS (single image random do	ot	YAG レーザー	128
OPO (optical parametric oscillato	or)	stereogram)	76	ZCAV (zoned CAV)	5
	184	SLD (superluminescent diode)		ZCLV (zoned CLV)	5
OSA (Optical Society of America)	87	1:	30, 148	女 仁	
OTF (optical transfer function)	119	SLM (spatial light modulator)	64	あ行	
p 型液晶	49	SMPTE (Society of Motion Pictur	re	アイコノスコープ	47
PC (phase change)	12	and Television Engineers)	72	アヴァランシェフォトダイオード	129
PCM (pulse code modulation)		CMCD (-: 1 1	otio)	青色半導体レーザー	64
i CM (puise code modulation)	22	SMSR (side mode suppression ra	auo)	自己十年体レーク	
*	22 4, 149	SMSR (side mode suppression ra	134	青紫色半導体レーザー	33
*	4, 149	SMSR (side mode suppression range) SP (standard playing)			33 24

総索引

アルファベット、略語

AACS (advanced access content
system) IV-39
ACES (Academy Color Encoding
System) IV-62
Adobe RGB IV-63
AES (Auger electron spectroscopy) I-242, 265
AFM (atomic force microscope) I-265
AI (artificial intelligence) IV-143 AlN II-39, 87, 92
ALOHA (additive links on-line Hawaii
area, ALOHA net) III-216 α 乗分布屈折率光ファイバー
II-253; III-186
Alq ₃ III-156, 168
AM (air mass coefficient) III-95
AM1.5 III-95, 116
AMPAS (Academy of Motion Picture
Arts and Sciences) IV-72
AO (acoustooptic) 効果 III-60
APC (automatic power control) I-272
APD (avalanche photodiode)
III-65, 83, 183, 212; IV-129
APS (active pixel sensor) IV-125
AR (anti-reflection) III-10
15 / 1 1 1 1 1 1 1 1 1 1 1 1 1 1 1 1 1 1
AR (augmented reality) IV-67, 96
AROG (air-hole retained over-growth)
AROG (air-hole retained over-growth) II-42
AROG (air-hole retained over-growth) II-42 a-Si (amorphous silicon) III-121
AROG (air-hole retained over-growth) II-42 a-Si (amorphous silicon) III-121 AWG (arrayed waveguide grating)
AROG (air-hole retained over-growth) II-42 a-Si (amorphous silicon) III-121 AWG (arrayed waveguide grating) III-56
AROG (air-hole retained over-growth) II-42 a-Si (amorphous silicon) III-121 AWG (arrayed waveguide grating) III-56 BB84 IV-187
AROG (air-hole retained over-growth) II-42 a-Si (amorphous silicon) III-121 AWG (arrayed waveguide grating) III-56 BB84 IV-187 BD (blu-ray disc) I-228, 274; II-39,
AROG (air-hole retained over-growth) II-42 a-Si (amorphous silicon) III-121 AWG (arrayed waveguide grating) III-56 BB84 IV-187 BD (blu-ray disc) I-228, 274; II-39, 74, 90; IV-3, 20, 33
AROG (air-hole retained over-growth) II-42 a-Si (amorphous silicon) III-121 AWG (arrayed waveguide grating) III-56 BB84 IV-187 BD (blu-ray disc) I-228, 274; II-39, 74, 90; IV-3, 20, 33 BDXL IV-40
AROG (air-hole retained over-growth) II-42 a-Si (amorphous silicon) III-121 AWG (arrayed waveguide grating) III-56 BB84 IV-187 BD (blu-ray disc) I-228, 274; II-39, 74, 90; IV-3, 20, 33 BDXL IV-40 BH (buried heterostructure)
AROG (air-hole retained over-growth) II-42 a-Si (amorphous silicon) III-121 AWG (arrayed waveguide grating) III-56 BB84 IV-187 BD (blu-ray disc) I-228, 274; II-39, 74, 90; IV-3, 20, 33 BDXL IV-40 BH (buried heterostructure) I-247; II-10; IV-24
AROG (air-hole retained over-growth) II-42 a-Si (amorphous silicon) III-121 AWG (arrayed waveguide grating) III-56 BB84 IV-187 BD (blu-ray disc) I-228, 274; II-39, 74, 90; IV-3, 20, 33 BDXL IV-40 BH (buried heterostructure) I-247; II-10; IV-24 BIS (burst indicator subcode) IV-21
AROG (air-hole retained over-growth) II-42 a-Si (amorphous silicon) III-121 AWG (arrayed waveguide grating) III-56 BB84 IV-187 BD (blu-ray disc) I-228, 274; II-39, 74, 90; IV-3, 20, 33 BDXL IV-40 BH (buried heterostructure) I-247; II-10; IV-24 BIS (burst indicator subcode) IV-21 BK7 II-128; III-10
AROG (air-hole retained over-growth) II-42 a-Si (amorphous silicon) III-121 AWG (arrayed waveguide grating) III-56 BB84 IV-187 BD (blu-ray disc) I-228, 274; II-39, 74, 90; IV-3, 20, 33 BDXL IV-40 BH (buried heterostructure) I-247; II-10; IV-24 BIS (burst indicator subcode) IV-21 BK7 II-128; III-10 BPF (band-pass filter) II-7, 131
AROG (air-hole retained over-growth) II-42 a-Si (amorphous silicon) III-121 AWG (arrayed waveguide grating) III-56 BB84 IV-187 BD (blu-ray disc) I-228, 274; II-39, 74, 90; IV-3, 20, 33 BDXL IV-40 BH (buried heterostructure) I-247; II-10; IV-24 BIS (burst indicator subcode) IV-21 BK7 II-128; III-10 BPF (band-pass filter) II-7, 131 BPM (beam propagation method)
AROG (air-hole retained over-growth) II-42 a-Si (amorphous silicon) III-121 AWG (arrayed waveguide grating) III-56 BB84 IV-187 BD (blu-ray disc) I-228, 274; II-39, 74, 90; IV-3, 20, 33 BDXL IV-40 BH (buried heterostructure) I-247; II-10; IV-24 BIS (burst indicator subcode) IV-21 BK7 II-128; III-10 BPF (band-pass filter) II-7, 131 BPM (beam propagation method) III-30
AROG (air-hole retained over-growth) II-42 a-Si (amorphous silicon) III-121 AWG (arrayed waveguide grating) III-56 BB84 IV-187 BD (blu-ray disc) I-228, 274; II-39, 74, 90; IV-3, 20, 33 BDXL IV-40 BH (buried heterostructure) I-247; II-10; IV-24 BIS (burst indicator subcode) IV-21 BK7 II-128; III-10 BPF (band-pass filter) II-7, 131 BPM (beam propagation method) III-30 BSF (back surface field) 太陽電池
AROG (air-hole retained over-growth) II-42 a-Si (amorphous silicon) III-121 AWG (arrayed waveguide grating) III-56 BB84 IV-187 BD (blu-ray disc) I-228, 274; II-39, 74, 90; IV-3, 20, 33 BDXL IV-40 BH (buried heterostructure) I-247; II-10; IV-24 BIS (burst indicator subcode) IV-21 BK7 II-128; III-10 BPF (band-pass filter) II-7, 131 BPM (beam propagation method) III-30 BSF (back surface field) 太陽電池
AROG (air-hole retained over-growth) II-42 a-Si (amorphous silicon) III-121 AWG (arrayed waveguide grating) III-56 BB84 IV-187 BD (blu-ray disc) I-228, 274; II-39, 74, 90; IV-3, 20, 33 BDXL IV-40 BH (buried heterostructure) I-247; II-10; IV-24 BIS (burst indicator subcode) IV-21 BK7 II-128; III-10 BPF (band-pass filter) II-7, 131 BPM (beam propagation method) III-30 BSF (back surface field) 太陽電池 III-120 BT.2020 IV-57, 63
AROG (air-hole retained over-growth) II-42 a-Si (amorphous silicon) III-121 AWG (arrayed waveguide grating) III-56 BB84 IV-187 BD (blu-ray disc) I-228, 274; II-39, 74, 90; IV-3, 20, 33 BDXL IV-40 BH (buried heterostructure) I-247; II-10; IV-24 BIS (burst indicator subcode) IV-21 BK7 II-128; III-10 BPF (band-pass filter) II-7, 131 BPM (beam propagation method) III-30 BSF (back surface field) 太陽電池 III-120 BT.2020 IV-57, 63 b-V 曲線 I-98; II-217, 250
AROG (air-hole retained over-growth) II-42 a-Si (amorphous silicon) III-121 AWG (arrayed waveguide grating) III-56 BB84 IV-187 BD (blu-ray disc) I-228, 274; II-39, 74, 90; IV-3, 20, 33 BDXL IV-40 BH (buried heterostructure) I-247; II-10; IV-24 BIS (burst indicator subcode) IV-21 BK7 II-128; III-10 BPF (band-pass filter) II-7, 131 BPM (beam propagation method) BSF (back surface field) 太陽電池 III-120 BT.2020 IV-57, 63 b-V 曲線 I-98; II-217, 250 CATV (cable television) III-199
AROG (air-hole retained over-growth) II-42 a-Si (amorphous silicon) III-121 AWG (arrayed waveguide grating) III-56 BB84 IV-187 BD (blu-ray disc) I-228, 274; II-39, 74, 90; IV-3, 20, 33 BDXL IV-40 BH (buried heterostructure) I-247; II-10; IV-24 BIS (burst indicator subcode) IV-21 BK7 II-128; III-10 BPF (band-pass filter) II-7, 131 BPM (beam propagation method) III-30 BSF (back surface field) 太陽電池 III-120 BT.2020 IV-57, 63 b-V 曲線 I-98; II-217, 250

GDD.	H 455 460
	II-157, 168
CCD (charge coupled device	
CCD イメージセンサー	IV-124
CD (compact disc)	
I-5, 173, 228, 258,	
74, 117, 159; III-21	
CD-DA (compact disc-digital	
	IV-3, 15
Ce ³⁺ :YAG	III-135
CHSH (Clauser-Horne-Shime	ony-Holt)
不等式	IV-179
CIE (Commission Internation	nale de
l'Éclairage) I-12; II-105	; IV-71, 89
CIE 1931 表色系	IV-89
CIE 1931 RGB	IV-63, 89
CIE 1964 表色系	IV-91
CIE 1976 <i>L</i> * <i>a</i> *b* 色空間	IV-93
CIGS (Cu(InGa)Se ₂)	III-121
CIRC (cross interleave, Reed	
code)	IV-20
circ 関数	I-119
CL (cathode luminescence)	
CLV (constant linear velocity	
	V-5, 14, 40
CMOS (complementary MOS	
	73; IV-123
CMOS イメージセンサー	, 120
(CMOS センサー)	IV-125
CMOS インバーター	IV-124
CO ₂ レーザー	I-216
COD (catastrophic optical da	
ar- (carastrophino aprilant	I-261
CNOT ゲート	IV-183
CPA (continuous pinwheel a	
(IV-52
CPBH (circular planar burie	
heterostructure)	II-35
CPRM (content protection fo	
recordable media)	IV-39
CRI (color rendering index)	IV-95
CRT (cathode ray tube)	IV-47
CR 定数	I-269
CSP (channeled substrate pl	
CSF (channeled substrate pr	
CT (same utad tama gan bu)	IV-24
CVD (chamical vapor denoci	IV-145
CVD (chemical vapor deposi	
CVX	II-263
C-V法	I-264
CW (continuous wave)	II 0 00 40
I-213, 233;	11-2, 28, 42

CZ (Czochralski) 法	III-120
	145, 154
DBR (distributed Bragg reflecte	
I-183, 228, 270; II-7, 19	
107, 119, 128, 145, 204	; III-166
DCI (Digital Cinema Initiatives)	
DCI-P3	IV-63
	156, 168
DFB (distributed feedback)	,
I-131, 183, 228, 2	70: II-2
19, 55, 136, 140	
DFD (depth fused display, dept	
fused 3D)	IV-74
DFT (density functional theory	
	143, 154
DH (double heterostructure)	173, 137
I-162, 228, 253; II-18	76 02
	5, 70, 95
DLOS (deep-level optical;	1.265
spectroscopy)	I-265
DLTS (deep-level tramnsient	1.065
spectroscopy)	I-265
DMX (demultiplexer)	III-61
DPD (differential phase detection	
	IV-8, 19
DSM (dynamic scattering mode)	IV-48
DSM (dynamic single mode)	
I-228, 270	
DSTN (dual STN)	IV-51
DTP (desktop publishing)	IV-71
DVD I-5, 174, 230, 2	
II-26, 74, 158, 180;	
DWDM (dense wavelength divi	
1 0,	9; IV-74
EA (electro-absorption) 変調器	
EB (electron beam) 描画	II-156
EBIC (electron beam induced of	
	I-265
EBL (electron barrier layer)	IV-35
ECL (electrochemiluminescenc	
	III-167
EDC (electronic dispersion	
compensation)	III-191
EDFA (erbium-doped fiber am	_
I-230; II-65	
EFM (eight to fourteen modula	tion)
	IV-6
EH モード	II-216
EIL (electron injection layer)	III-159
EL (electroluminescence)	
I-48; II-72, 91; III-127, 1	156, 173

あとがき

連載「光エレクトロニクスの玉手箱」は、0 plus E 誌において 2013 年 3 月から始まり、2019 年 3 月に第 67 章をもって完結した。これまで、その書籍版第 I 、II 、III 巻を出版してきたが、本書はその第IV巻(最終巻)で、全巻の目次、全編の索引、コラムの総目次を設けたので、手早く検索可能にもなっている。

これまでにも述べてきたとおり、1960年のレーザー登場に始まる光エレクトロニクスに関して、"玉手箱"のタイトルをもって眺めてみることにしたものであった。ご存知の"玉手箱"は、何が出てくるか分からないという魅力があるし、浦島太郎の昔話そのものにも、時空を超えた世界が広がるのであった。光と電子の誕生から始まる壮大な世界を背景としながら、レーザーが登場して以来発展した約60年間の技術が閉じ込められていた。この「光エレクトロニクスの玉手箱」がそれを一気に開いてみたと言ってもよい。光エレクトロニクスの原理、基礎、材料、デバイス、コンポーネント、システムなど、まとめて紹介するものとなった。

第50章から第53章の「光ディスクメモリー」では、音楽ソフトで使うCDから、映像の記録に多用されるDVD、大容量のBDディスクまで、その技術について詳細に紹介した。光記録、読み出し、エラー訂正システム、回転メカニズムなど、驚くような技術が巧みに使われていることを知った。

第54章から第57章では「ディスプレイ」について調べた。コンピューター用のパネル、スマートフォンなどの小型ディスプレイ、テレビ、会議、映画館における大画面のシステムなどには、最先端の技術が詰め込まれていた。

第58章から第60章は、「撮像」で、カメラの像形成機構から始まり、受光素子などこれからの映像技術の要になる技術について概観した。

第61章はレーザーレーダー(ライダー)で、すでにいろいろなモバイル機器や自動車などの自動化に向けて発展しつつあることを紹介した。

第62章は、「レーザープリンター」で、現在われわれが手にすることのできるきれいなプリント資料は、その精緻な技術によることを探る内容である。2001年頃から、面発光レーザーアレイを用いるレーザープリンターが登場し、高速、高精細化が図られ、印刷機以上の性能が超高速で発揮できるようになった。数 μm のドットをディジタル的に分離して印刷する技術もすばらしいものがある。

第63章は、「光センシング」で、これからますます重要となる技術であり、高速、安全、 医用などの社会基盤に必須のものとなる。 第64章から第66章は量子についてまとめた。光エレクトロニクスにはどこかで使われていながら今ひとつ分からないという問題を、改めて振り返って考えることとした。量子におけるパラドックス、光は粒子か、電子は波か、第2量子化の考え方、量子コンピューターなどについて紹介というより、読者の皆様と一緒に考えるための情報を提供することを目的として整理した。

この玉手箱の連載は、伊賀健一と波多腰玄一の共著で書いてきた。前3巻でも述べたが、お互いの持ち味がまったく異なっていて、1+1が2ではなく3以上になったのではないか。そのためか、途中で脱線したり、迷い道に入り込んだことも度々であった。本文とは別に記した「コラム」でも、いろいろな方にご登場いただいて、興味ある散歩道にご案内できたと思う。

本連載の著述を通じて、本当はそうだったのだと分かってきたこと、専門家でさえ分からない問題、専門家は解決済みだが著者らがまだ理解し得ていないことなど、正直に書いてきたつもりである。読者の皆様も、分かっていたのだけれど、よりはっきりしたという問題もおありだったとお聞きしている。ここに、長きにわたる連載のご愛読に感謝申し上げる。

また、この連載のきっかけは、元東芝・東海大学の後藤顕也さんのご助言によるところが大きい。また、応用物理学会・微小光学研究会メンバーにも多くの示唆をいただいた。ここに深く感謝申し上げたい。

本連載は6年間,冒頭の著者対談から始まって第1章から第67章の座談会にわたるもので, 月ごとのページ制限を大幅に上回ることも多かった。そのために書籍版も大部になってしまった。ここに、出版社のアドコム・メディア社の社長、出版担当の方々にご理解とご容認をいただいたことに深甚なる感謝の意を表したい。

伊賀 健一波多腰 玄一



写真は、2019 年 6 月 13 日 パシフィコ横浜、アドコム・メディア社主催の 画像センシング展における第Ⅲ巻出版記念サイン会にて。 (左:伊賀健一 右:波多腰玄一)

2019年11月吉日

本書では紹介できなかった「カラーの図表や動画」などを下記の web にてご紹介しています。 https://www.adcom-media.co.jp/opluse/tmo/

著者紹介

伊賀 健一 (いが けんいち), Kenichi Iga



1959年広島大学附属高等学校卒業。1963年東京工業大学理工学部卒業, 1968年同大学院博士課程修了(工学博士)。同年より、東工大精密工学研究 所に助手として勤務,1974年助教授,1984年教授に就任。面発光レーザー, 微小光学の研究に従事。1979-1980年ベル研究所客員MTS。2001年東工大 名誉教授。2001-2007年日本学術振興会理事,2007-2012年東工大・学長。

応用物理学会フェロー/微小光学研究会代表。電子情報通信学会名誉員・フェロー・会長(2002年度)。レーザー学会フェロー。紫綬褒章,東レ科学賞,市村学術賞(功績賞),朝日賞,藤原賞,C&C賞など受賞多数。2013年フランクリン賞(ゴールドメダル・バウワー賞),2018年瑞宝重光章。

趣味はコントラバス演奏(町田フィルハーモニー交響楽団所属,町田フィル・バロック合奏団主宰), 2001年から波多腰玄一氏(ピアノ)と"Duo 21"で演奏。

波多腰 玄一 (はたこし げんいち), Genichi Hatakoshi



1968年長野県松本深志高等学校卒業。1974年東京大学工学部卒業。1980年同大学院博士課程修了(工学博士)。同年より、東京芝浦電気(株)総合研究所(現・(株)東芝研究開発センター)勤務。光デバイス、光半導体デバイスの研究開発に従事。2003年から2014年まで、東芝リサーチ・コンサルティング(株)フェロー。2006-2009年の間、科学技術振興機構研究開発戦略センターフェロー。2015年より早稲田大学非常勤講師。

日本学術振興会光電相互変換第125委員会名誉委員。ISO/ TC172/ SC9 国内対策部会部会長。応用物理学会フェロー/微小光学研究会・運営副委員長。応用物理学会光学論文賞,大河内記念技術賞,文部科学大臣表彰科学技術賞(開発部門),日本学術振興会・光電相互変換第125委員会功労賞など受賞。志音会オーケストラ所属(ヴァイオリン)。2001年から,ピアノで伊賀健一氏(コントラバス)と"Duo 21"で演奏。

光エレクトロニクスの玉手箱 IV Treasure Microbox of Optoelectronics IV

2020年4月25日初版発行

著者 伊賀健 -

波多腰 玄 一

発行者 喜 多 野 乃 子

発行所 アドコム・メディア株式会社

〒169-0073 東京都新宿区百人町2-21-27 電話 (03)3367-0571(代)

Advanced Communication Media Co. Ltd., Tokyo, Japan, 2020 ISBN 978-4-910636-29-0 C3042 ¥5200 E © Kenichi Iga, Genichi Hatakoshi 2020 印刷/製本 (料プックフロント Printed in Japan

- ・本書に掲載する著作物の複製権・翻訳権・上映権・譲渡権・公衆送信権 (送信可能化権を含む) はアドコム・メディア㈱が保有します。
- ・ **ICOPY** | <出版者著作権管理機構 委託出版物 > 本書の無断複製は著作権法上での例外を除き禁じられています。複製される場合は、そのつど事前に、出版者著作権管理機構(電話 03-5244-5088, FAX 03-5244-5089, E-mail info@jcopy.or.jp) の許諾を得てください。